

ПРИЧИННЫЕ СВЯЗИ В ВЫСОКОЧАСТОТНОМ ЕМКОСТНОМ РАЗРЯДЕ НИЗКОГО ДАВЛЕНИЯ И ПРОСТОЕ ВЫЧИСЛЕНИЕ ЕГО ПАРАМЕТРОВ

Ю.П.Райзэр, М.Н.Шнейдер

1. Высокочастотные емкостные разряды (ВЧЕР) низкого давления ($p \sim 10^{-3} - 1$ Тор) широко применяются для обработки и производства материалов, используемых в микроэлектронике. Имеются экспериментальные данные по характерным параметрам разряда; особую ценность, по нашему мнению, представляют систематические и тщательные измерения [1]. К настоящему времени имеются довольно детальные теории [2,3] и др., а также большое количество самосогласованных алгоритмов для численного моделирования ВЧЕР (см. обзоры [4,5]). Однако для экспериментаторов-практиков и инженеров, применяющих ВЧЕР, было бы полезным, не вникая в дебри теорий и, тем более, не прибегая к чрезвычайно трудоемкому численному моделированию, видеть, каковы причинные связи между параметрами разряда, что чем определяется, и иметь возможность простым способом оценивать разрядные величины.

Ниже формулируются указанные причинные связи (отнюдь не претендуя на их "открытие", мы просто расставляем все по своим местам) и предлагаем рабочую схему оценок параметров ВЧЕР низкого давления, установления его ВАХ и частотных характеристик.

2. Рассмотрим плоский симметричный α -разряд не чрезмерно низкого давления $p \gtrsim 10^{-2}$ Тор (чтобы можно было не принимать во внимание стохастический нагрев электронов). В α -разряде заряды рождаются в основном в области плазмы (не в приэлектродных слоях) [6] и токи разрядов на электроды очень малы по сравнению с токами смещения. Характерная величина поля в стационарной плазме, скажем, его амплитуда E_a в средней части межэлектродного промежутка длины L , определяется через электронную температуру T_e необходимостью компенсации рождения зарядов и их потерь, в основном за счет амбиполярной диффузии к электродам. В предположениях о постоянстве T_e и подвижности ионов μ_+ по координате x между электродами, и в пренебрежении нагревом газа частота ионизации в ВЧ после $\nu_{\text{ВЧ}}$ и коэффициент амбиполярной диффузии $D_a = \mu_+ T_e$

также постоянны. Плотность плазмы n описывается уравнением

$$D_a d^2 n / dx^2 + \nu_{iVCh} n = 0, \quad (1)$$

как в теории Шоттки положительного столба тлеющего разряда [6].

Если средняя толщина приэлектродных слоев пространственного заряда d невелика по сравнению с L , решение (1) можно экстраполировать к электродам, положив $n = 0$ при $x = \pm L/2$. Это дает $n = n_{max} \cos(\pi x/L)$ и уравнение

$$\nu_{iVCh}(E_a) = D_a / \lambda^2, \quad \lambda = \pi / L, \quad (2)$$

которым определяется поле в плазме.

При низких давлениях частота поля ω обычно сильно превышает частоту установления электронного спектра $\nu_u = \delta\nu_m$, где ν_m — частота столкновений электронов с молекулами, δ — доля энергии, передаваемая молекуле. В этом случае ν_{iVCh} приближенно совпадает с частотой ионизации ν_i в постоянном поле E , равном эффективному $E_{eff} = (E_a/\sqrt{2})[\nu_m^2/(\omega^2 + \nu_m^2)]^{1/2}$. Функцию $\nu_i(E)$ для интересующего газа, вернее, связанный с ней коэффициент Таунсенда, можно найти в литературе.

Однако проще и удобнее воспользоваться имеющимися экспериментальными зависимостями E/p в плазме положительного столба тлеющего разряда низкого давления в трубке радиуса R от pR [6]. Экспериментальную функцию E/p от pR можно рассматривать как результат решения уравнения типа (2). При этом следует положить $E = E_{eff}$ и $R = L(2,4/\pi)$. Поле в плазме ВЧЕР низкого давления мало зависит от плотностей плазмы и тока j_a , поскольку скорости рождения $\nu_{iVCh} n$ и потеря $D_a n / \lambda^2$ одинаково пропорциональны n . Ток смещения в плазме обычно мал по сравнению с током проводимости, так что в [6]

$$j_a \approx e^2 n_{max} F_a / m (\omega^2 + \nu_m^2)^{1/2}. \quad (3)$$

В приэлектродных слоях амбиполярный диффузионный поток превращается в дрейфовый поток ионов, которые выносятся на электроды средним (постоянным) полем. Среднее падение напряжения на слое \bar{V} и его толщина d как раз определяются необходимостью вынести на электрод амбиполярный поток ионов из плазмы, равный

$$\Gamma_+ = j_+ / e = -D_a (\partial n / \partial x)_{x=\pm L/2} \approx \pi D_a n_{max} / L, \quad (4)$$

а также перенести посредством тока смещения разрядный ток j_a . Если, как это ближе всего к реальности, ион массы M движется через слой в режиме перезарядки с постоянной длиной пробега l ^[2], то его скорость у электрода есть $v_+ \approx \sqrt{\epsilon \bar{E}_\infty l / M}$, где \bar{E}_∞ — среднее поле у электрода. Оно равно приближенно $\bar{E}_e \approx 4\pi e n_s d$, где n_s — средняя плотность ионов в слое пространственного заряда, причем $\bar{V} \approx \bar{E}_e d / 2 \approx 2\pi e n_s d^2$. Ионный ток на электрод равен

$$j_+ = \epsilon n v_+ \approx a \sqrt{\frac{2\epsilon l}{M}} \frac{V^{3/2}}{d^{5/2}}, \quad a = 1/2\pi. \quad (5)$$

Уточненное рассмотрение с учетом самосогласованного распределения $n(x)$, $\bar{E}(x)$ в слое [3] дает $a = 0.064$, что в 2.5 раза меньше, чем в (5). Приравнивая (4) и (5), можно выразить n_{\max} через \bar{V} и d .

В не слишком длинном ВЧЕР низкого давления падение напряжения на плазме относительно мало по сравнению с падением на слоях. Если амплитуда приложенного напряжения V_a не слишком низка, можно пренебречь и плавающими потенциалами электродов. В этих случаях приемлема электрическая схема α -ВЧЕР, в которой слои — “емкости” соединены последовательно “идеальным проводником” — плазмой, откуда $\bar{V} = V_a/2$. С другой стороны разрядный ток равен току смещения в слое у электрода, так что

$$j_a \approx \frac{1}{4\pi} \partial E_\infty / \partial t \approx \omega \bar{V} / 2\pi d = \omega V_a / 4\pi d. \quad (6)$$

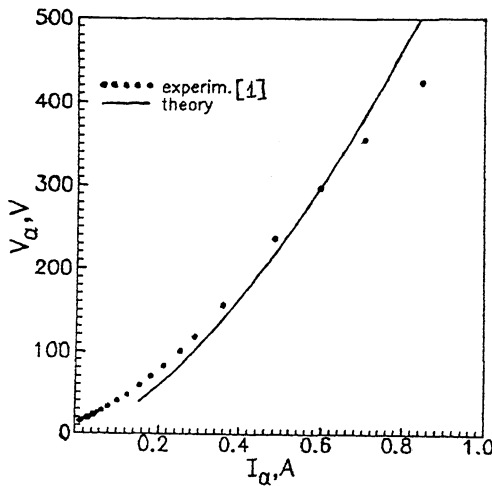
Равенства (3)–(6) вместе с найденным на основе (2) полем в плазме E_a решают задачу определения ВАХ и всех параметров ВЧЕР. В частности, толщина слоя

$$d = \left[2a \left(\frac{2\epsilon l \bar{V}}{M} \right)^{1/2} \left(\frac{e E_a}{m \nu_m} \right) \frac{L}{D_a \omega (1 + \omega^2 / \nu_m^2)^{1/2}} \right]^{2/3}. \quad (7)$$

В типичных условиях, когда $\omega^2 / \nu_m^2 \ll 1$, имеем следующие частотные зависимости:

$$d \sim V_a^{1/3} \omega^{-2/3}, \quad V_a \sim j_a^{3/2} \omega^{-5/2}, \quad j_a \sim V_a^2 \omega^{5/3}. \quad (8)$$

3. Приведем численный пример и сравним результаты расчета с экспериментом [1]. В [1] исследовался разряд в аргоне при $p \sim 3 \cdot 10^{-3}$ – 3 Тор, $f = 13.56$ МГц, $L = 6.7$ см, площади электродов $S = 160$ см², причем электроды были заполнены током. Рассмотрим вариант $p = 0.1$ Тор.



Имеем: $\nu_m = 5.5 \cdot 10^9 p = 5.5 \cdot 10^8 \text{ с}^{-1} \gg \omega = 0.86 \cdot 10^8 \text{ с}^{-1}$, т. е. $E_{\text{eff}} = E_a/\sqrt{2}$. Эквивалентному радиусу трубки $R = (2.4/\pi)L$ соответствует $E/p \approx 7 \text{ В}/(\text{см} \cdot \text{Тор})$ [6], откуда $E_a/p \approx 10 \text{ В}/(\text{см} \cdot \text{Тор})$. Положим $T_e = 4 \text{ эВ}$, что следует и из оценок и из различных измерений в аргоне. При этом $D_a = 4 \cdot 10^4 \text{ см}^2/\text{с}$, $\nu_{\text{iVCh}} = 900 \text{ с}^{-1}$. Возьмем для примера $V_a = 300 \text{ В}$. Тогда $\bar{V} = 150 \text{ В}$; по (7) $d \approx 0.61 \text{ см}$, что согласуется с величиной, определенной по измеренной в [1] емкости слоя. По (6) $j_a \approx 3.7 \text{ мА}/\text{см}^2$, откуда амплитуда тока $I_a = j_a S \approx 0.6 \text{ А}$ хорошо совпадает с измеренной в [1] при $V_a = 300 \text{ В}$. Вычисленная по (3) $n_{\text{max}} \approx 7.3 \cdot 10^{-9} \text{ см}^{-3}$ согласуется со средней плотностью плазмы $n = 4.3 \cdot 10^9 \text{ см}^{-3}$, которую можно оценить по измеренному в [1] активному сопротивлению разряда 15 Ом. Вычисленная средняя плотность ионов в слое n_s в 16 раз меньше n_{max} . Неплохо для столь простой теории согласуется с экспериментом и расчетная ВАХ (см. рисунок). Согласуется изложенная модель и с результатами самосогласованного численного расчета [7] для условий, принятых в [7]. Все это дает основание для использования рассмотренной простейшей теории в качестве оперативного инструмента для оценок в практической работе.

Список литературы

- [1] Godyak V.A., Piejak R.B., Alexandrovich B.M. // IEEE Trans. Plasma Sci. 1991. V. 19. N 4. P. 660-676.
- [2] Godyak V.A., Khanneh A.S. J. de Physique 1979. V. 40. P. 147-148; IEEE Trans. Plasma Sci. 1986. V. 14. N 2. P. 112-123.
- [3] Liberman M.A. // IEEE Trans. Plasma Sci. 1988. V. 16. N 6. P. 638-644.
- [4] Lister G.G. // J. Phys. D.: Appl. Phys. 1992. V. 25. P. 1649-1680.
- [5] Попов А.М., Рахимов А.Т., Рахимова Т.Б. // Физика плазмы. 1933. Т. 19. С. 1241-1267.
- [6] Райзер Ю.Н. Физика газового разряда. М., 1992.
- [7] Gogoladze E., Savin H.H. // J. Appl. Phys. 1992. V. 72. N 9. P. 3971-3987; ibid, P. 3988-4002.

Институт проблем механики
Москва

Поступило в Редакцию
27 июня 1994 г.